

HANDBUCH
der
BESTIMMENDEN
MINERALOGIE,

enthaltend
**die Terminologie, Systematik, Nomenklatur
und Charakteristik**

der
NATURGESCHICHTE DES MINERALREICHES.



V o n
WILHELM HAIDINGER,

k. k. wirklichem Bergrath, Mitglied der kön. Preuss. Akademie der
Wissenschaften zu Berlin, der kön. Gesellschaften zu Prag und
Edinburgh, u. s. w.

WIEN,
BEI BRAUMÜLLER & SEIDEL.

1845.



XIV. Ordnung. GLANZE.

- 1 *Berthierit*. HAIDINGER. Theilbarkeit undeutlich nach mehreren Richtungen. Dunkelstahlgrau, etwas ins Röthliche geneigt, dem Anlaufen unterworfen. H. = 2·0...3·0, G. = 4·0...4·3. Anglar, Frankreich. $\overset{\prime}{\text{Fe}}\overset{'''}{\text{Sb}}$. Haidingerit. BERTHIER.

I. DYSTOMGLANZ. Tessularisch, rhomboedrisch, orthotyp, augitisch. Farbe stahlgrau, zum Theil etwas ins Gelbe geneigt, schwärzlich bleigrau, eisenschwarz. Theilbarkeit wenig vollkommen, nicht axotom. Spröde. H. = 2·5...4·0, G. = 4·3...5·8.

1. Hexaedrischer. Tessularisch. Theilbarkeit, Hexaeder, Granatoid Spuren. Farbe stahlgrau, etwas ins Messinggelbe geneigt. H. = 4·0, G. = 4·3...4·4.

- 2 *Stannin*. BEUDANT. $\overset{\prime}{\text{Cu}} + \overset{\prime}{\text{Sn}}$. Zinnkies.

2. Tetraedrischer. Tessularisch. Tetraedrische Hemiedrie. Fig. 190. Theilbarkeit Oktaeder sehr unvollkommen. Farbe stahlgrau...eisenschwarz. H. = 3·0...4·0, G. = 4·5...5·2.

- 3 *Tetraedrit*. H. [$\overset{\prime}{\text{Fe}}\overset{\prime}{\text{Zn}}\overset{\prime}{\text{As}}$] + $2\overset{\prime}{\text{Cu}}\overset{'''}{\text{As}}$. Fahlers, Schwarzerz, Weissgiltigerz. Panabase. BEUDANT.

3. Dodekaedrischer. Tessularisch. Tetraedrische Hemiedrie. Fig. 191. Theilb. Granatoid, unvollk. Farbe schwärzlichbleigrau, Strich etwas ins Rothe geneigt. H. = 4·0, G. = 4·3...4·5.

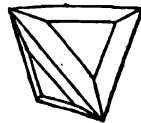
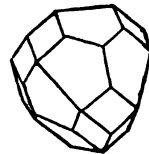


Fig. 191.

- 4 *Tennantit*. PHILLIPS. $\left. \begin{matrix} \overset{\prime}{\text{Fe}}\overset{\prime}{\text{As}} \\ \overset{\prime}{\text{Cu}}\overset{\prime}{\text{As}} \end{matrix} \right\} \overset{'''}{\text{As}} + 2\overset{\prime}{\text{Cu}}\overset{'''}{\text{As}}$.



- 5 *Kupferblende*. BREITHAUPT. Tetraedrisch. Dunkelgrau. Strich bräunlichroth. Keine Theilbarkeit. H. = 3·5...4·0, G. = 4·2...4·4. Freiberg. Fahlers.

- 6 *Selenquecksilberkupfer*. ZINCKEN. Dicht und manchem Fahlers ähnlich. Tilkerode, Harz. Cu, Hg, Se, S.

- 7 *Selenquecksilberkupfer*, bleiisches. ZINCKEN. Gemenge des Vorigen mit Selenblei.

Fig. 192.

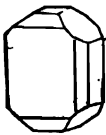
4. Prismatoidischer. Orthotyp. Fig. 192. Theilbarkeit ∞D unvollkommen. Farbe schwärzlichbleigrau. H. = 3·0, G. = 5·7...5·8.



8 *Wölchit.* H. $\overset{\cdot}{\text{Cu}}^2\overset{\cdot\cdot}{\text{As}} + \overset{\cdot}{\text{Pb}}^2\overset{\cdot\cdot}{\text{Sb}}$. SCHRÖTTER. Prismatoidischer Kupferglanz, MOHS, von der Wölch im Lavantthale in Kärnthen. Antimonkupferglanz.

9 *Kupferantimonglanz.* ZINKEN und G. ROSE. Orthotyp. Zwei Prismen $\infty 0$ und $\infty \bar{0}2 = 135^\circ 12'$ und 111° ; tafelfartige Krystalle nach $\infty \bar{D}$. Theilbarkeit $\infty \bar{D}$ sehr vollkommen. Bleigrau ins Eisenschwarze. H. = 3.5, G. = 4.748. Wolfsthal am Harz. $\overset{\cdot}{\text{Cu}} + \overset{\cdot\cdot}{\text{Sb}}$.

5. Diprismatischer. Orthotyp. $\bar{D} = 93^\circ 40'$; $\frac{1}{2}\bar{D} =$ Fig. 198. $87^\circ 8'$, $\infty \bar{0}2 = 96^\circ 31'$. Fig. 193. Theilbarkeit $\infty \bar{D}$,



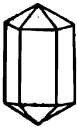
$\infty \bar{D}$; ersteres etwas vollkommener. Farbe stahlgrau ins Bleigraue oder Eisenschwarze geneigt. H. = 2.5...3.0, G. = 5.7...5.8.

10

Bournonit. BROOKE. $\overset{\cdot}{\text{Cu}}^3\overset{\cdot\cdot}{\text{Sb}} + 2\overset{\cdot}{\text{Pb}}^3\overset{\cdot\cdot}{\text{Sb}}$. Endelion. Schwarzspiesglaserz. Radelerz. Bleifahlerz. Spiessglanzbleierz.

Fig. 194.

6. Rhomboedrischer. Rhomboedrisch. R. = $150^\circ 56'$. Q = $165^\circ 26'$, $25^\circ 24'$. (Vielleicht prismatische Zwillinge wie Salpeter.) Fig. 194. Theilbarkeit ∞Q unvollkommen. Farbe dunkelstahlgrau. H. = 3.0...3.5, G. = 5.3...5.35.



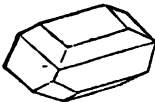
11

Zinkenit. G. ROSE. $\overset{\cdot}{\text{Pb}} + \overset{\cdot\cdot}{\text{Sb}}$.

7. Hemiprismatischer. Angitisch. $\frac{1}{2}A = \begin{cases} 142^\circ 3' \\ 134^\circ 30' \end{cases}$,

$\frac{2A}{2} = 120^\circ 49'$. Abweichung der Axe = $17^\circ 32'$ in der Ebene

Fig. 195. $\infty \bar{D}$. Fig. 195. Theilbarkeit $\frac{2A}{2}$ ziemlich vollkom-



men. Farbe schwärzlichbleigrau, ins Eisenschwarze fallend. H. = 2.5, G. = 5.4.

13

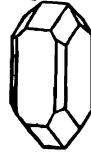
Plagionit. G. ROSE. $4\overset{\cdot}{\text{Pb}} + 3\overset{\cdot\cdot}{\text{Sb}}$.

13 *Cuproplumbit.* BREITHAUPT. Tessularisch. Theilbarkeit, Hexaeder, deutlich. Schwärzlichbleigrau. H. = 2.5...3.0, G. = 6.408...6.428. Chili. $2\overset{\cdot}{\text{Pb}} + \overset{\cdot}{\text{Cu}}$.

14 *Digenit.* BREITHAUPT. Derb. Bruch muschlig. Schwärzlichbleigrau. H. = 2.0...2.5, G. = 3.568...4.680. Chili und Sangerhausen. $\overset{\cdot}{\text{Cu}} + 2\overset{\cdot}{\text{Cu}}$.

II. KUPFERGLANZ. Orthotyp. Theilbarkeit unvollkommen, nicht axotom. Farbe schwärzlichbleigrau. Strich mehr und weniger glänzend. Sehr milde. $H. = 2.5..3.0$, $G. = 5.5..6.3$. Fig. 196.

1. Prismatischer. Orthotyp. $\check{D} = 119^\circ 35'$, $\infty\check{O}2 = 63^\circ 48'$. Fig. 196. Theilbarkeit \check{D} unvollkommen. $H. = 2.5..3.0$, $G. = 5.5..5.8$.



15 *Kupferglanz.* $\acute{C}u$.

2. Isometrischer. Orthotyp. $\check{D} = 119^\circ 35'$, $\infty\check{O}2 = 63^\circ 48'$. Theilb. nicht wahrnehmbar. $H. = 2.5..3.0$, $G. = 6.2..6.3$.

16 *Stromeyerit.* (Stromeyerine.) BEUDANT. $\acute{C}u + \acute{A}g$. Silberkupferglanz. STROMEYER.

17 *Berzelin.* BEUDANT. Derb. Silberweiss. Weich. Geschmeidig. Skrikerum, Småland, Schweden. Cu^*Se . Selenkupfer. BERZELIUS.

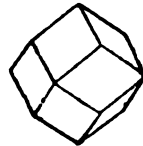
18 *Euhairit.* BERZELIUS. Derb. Theilbar. Bleigrau. Weich. Tryserum, Schweden. $Cu^*Se + AgSe$.

III. SILBERGLANZ. Tessularisch. Farbe schwärzlichbleigrau. Geschmeidig. $H. = 2.0..2.5$, $G. = 6.9..7.2$.

2. Hexaedrischer. Tessularisch. Fig. 197. Theilbarkeit Granatoid, unterbrochen.

Fig. 197.

19 *Argentit.* H. $\acute{A}g$. Glasers, Silberglanz.



20 *Riolith.* FRÖBEL. Rhomboedrisch. Kleine abgerundete sechseckige Tafeln. Bleigrau. Sehr geschmeidig. Tasco, Mexico. $AgSe^2$. Doppeltsele Silber. DEL RIO.

21 *Naumannit.* H. Tessularisch. Theilbarkeit Hexaeder, vollkommen, leicht zu erhalten. Eisenschwarz. Geschmeidig. $H. = 2.5$, $G. = 8.0$. Tilkeroode, Harz. $AgSe$. Selen Silber.

22 *Onofrit.* H. Derb. Stahlgrau...Schwärzlichbleigrau. Milde. San Onofre, Mexico. Hy, S, Se . Selen Schwefelquecksilber, KERSTEN. Selenquecksilber.

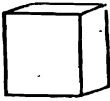
23 *Selenquecksilberblei.* H. ROSE. Tessularisch. Theilbar nach drei senkrechten Richtungen. Bleigrau, dunkel. Weich. $G. = 7.3$. Tilkeroode, Harz. $PbSe, HySe$.

24 *Selenbleikupfer und Selenkupferblei.* H. ROSE. Derb. Licht bleigrau ins Messinggelbe. Geschmeidig. $G. = 7.0$. Tilkeroode, Harz. $PbSe + CuSe$. Die zwei Glieder in den Verhältnissen 1, 2, 4 : 1.

- 25 *Tilkerodit*. H. Tessularisch. Theilbarkeit Hexaeder. Derb. Bleigrau. H. = 2·5...3, G. = 8·2...8·8, Tilkerode, Harz. $\text{CoSe}^{\circ} + 6\text{PbSe}$. Selenkobaltblei. H. ROSE.
- 26 *Clausthalit*. BEUDANT. Tessularisch. Theilbarkeit Hexaeder. Bleigrau. H. = 2·5...3·0, G. = 8·2...8·8. PbSe. Clausthal u. a. w., Harz. Selenblei.

IV. BLEIGLANZ. Tessularisch. Farbe rein bleigrau. Milde. H. = 2·5, G. = 6·8...7·6.

Fig. 198.

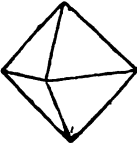


27

1. Hexaedrischer. Tessularisch. Fig. 198. Theilb. Hexaeder, vollk. H. = 2·5, G. = 7·4...7·6.

Glanz. Pb. Bleiglanz, Blaubleierz. Bleimulm.

Fig. 199.



28

29

2. Oktaedrischer. Tessularisch. Fig. 199. Theilbarkeit Hexaeder, wenig vollkommen. H. = 2·5, G. = 6·8...6·85.

Steinmannit. ZIPPE. Pb, Sb.

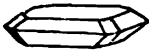
Antimonblei. BREITHAUPT. Theilbar nach drei senkrechten Richtungen, eine vollkommener. Frisch bleigrau. H. = 2·5, G. = 7·011. Münsterthal, Freiburg, Baden.

- 30 *Johnstonit*. Derb, bleigrau, G. = 5·27. Dufton, England. Pb mit S gemengt. Ueberschwefelblei. JOHNSTON.

V. EUTOMGLANZ. Pyramidal, rhomboedrisch, orthotyp. Theilbarkeit monotom, sehr vollkommen. Farbe bleigrau, stahlgrau, tombackbraun. Dünne Blättchen biegsam, elastisch. H. = 1·0...2·5, G. = 4·2...8·5.

1. Pyramidaler. P = 96° 43', 140° 0', $\frac{2}{3}P = 103° 17'$,

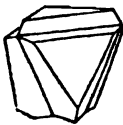
Fig. 200. 122° 44'. Fig. 200. Theilbarkeit 0. Farbe schwärzlichbleigrau. Dünne Blättchen biegsam. H. = 1·0...1·5, G. = 7·0...7·22.



- 31 *Nagyagit*. H. PbTe mit PbS und Au²T³. Nagyagererz. WERNER. Blättererz. Blättertellur.

2. Rhomboedrischer. Rhomboedrisch. R = 81° 2'.

Fig. 201. Fig. 201. Theilbarkeit 0. Zwillinge senkrecht auf die Axenkante von R. Winkel von 0 des einen Individuums gegen 0 des andern = 95° 0'. Farbe zwischen zinnoweiss und stahlgrau. Dünne Blättchen



etwas biegsam, dickere wenig elastisch. H. = 1·0...2·0, G. = 7·4...8·5.

33 *Tetradymit.* HAIDINGER. $\overset{'''}{\text{Bi}} + 2\text{Bi}^{\text{Te}^3}$. Bornine. Tellurwismuth.

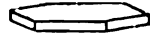
35 *Molybdänsilber.* WERNER. Rhomboedrisch. Höchst vollkommen axotom. Licht stahlgrau. H. = 1·0...2·0, G. = 8·0...8·44. Blättchen elastisch, dünne Blättchen etwas biegsam. Deutsch-Pilsen, Ungarn. $\text{BiS} + 4\text{BiTe}$.

34 *Silberphylinglanz.* BREITHAUPT. Derb. Eine deutliche Theilungsrichtung. Dünne Blättchen etwas biegsam. H. = 1·0...2·0, G. = 5·837...5·895. Deutsch-Pilsen, Ungarn. Ag, Mo, Se und etwas Au.

3. *Dirhomböedrischer.* Rhomboedrisch. Fig. 202. Theilbarkeit 0. Farbe rein bleigrau. Dünne Blätt-

Fig. 202.

chen, sehr biegsam. H. = 1·0...1·5, G. = 4·4...4·9.



35 *Molybdänit.* BEUDANT. $\overset{'''}{\text{Mo}}$. Molybdänglanz. Wasserblei.

36 *Selcnwismuth.* BERZELIUS. Aehnlich dem Tetradymit, derb. Telemarken, Norwegen. Bi, Te, Se.

4. *Prismatischer.* Orthotyp. $\text{O} = 128^\circ 49'$, $84^\circ 28'$, $118^\circ 0'$. Querschnitt von $\infty\text{O} = 119^\circ 30'$. Fig. 203. Theilbarkeit 0. Farbe tobackbraun. Dünne Blättchen biegsam. Fig. 203. H. = 1·0...1·5, G. = 4·2...4·25.



37 *Sternbergit.* HAIDINGER. $\overset{!}{\text{Ag}} + 2\overset{'''}{\text{Fe}}$.

38 *Biegsamer Silberglanz.* BOURNON. Augitisch. Rhomboidische Tafeln von 125° . Theilbarkeit, Längsfläche sehr vollkommen. Schwärzliche metallische Farbe. Sehr weich, biegsam.

VI. WISMUTHGLANZ. Orthotyp. Farbe bleigrau. H. = 2·0...2·5, G. = 6·1...6·8. Farbe schwärzlichbleigrau: G. = 6·7 und mehr. Farbe rein bleigrau: G. = 6·4 und weniger.

1. *Prismatischer.* Orthotyp, $\infty\text{O} = 91^\circ 30'$. Theilbarkeit $\infty\overset{\text{D}}{\text{D}}$ vollkommen, $\infty\overset{\text{D}}{\text{D}}$ minder vollkommen, 0 und ∞O unvollkommen. Farbe bleigrau, ein wenig ins Stahlgraue geneigt. H. = 2·0...2·5, G. = 6·1...6·4.

39 *Bismuthin.* BEUDANT. $\overset{'''}{\text{Bi}}$. Wismuthglanz.

2. *Prismatoidischer.* Orthotyp. Theilb. prismatoidisch, unvollk. Farbe schwärzlichbleigrau. H. = 2·0...2·5, G. = 6·7...6·8.

- 40 *Patrinit.* H. $\overset{'''}{\text{Cu}}^3\overset{'''}{\text{Bi}} + 2\overset{'''}{\text{P}}\overset{'''}{\text{g}}^3\overset{'''}{\text{Bi}}$. Wurde nach v. LEONHARD von PATRIN als ein Wismuthglanz betrachtet. Nadelersz.
- 41 *Wismuthbleiersz.* v. LEONHARD. Nadel- und haarförmige Krystalle. Licht bleigrau. Dem Anlaufen unterworfen. Weich. Schappach, Baden. Pb, Bi, Ag, S.
- 42 *Kupferwismuthersz.* KLAPROTH. Derb. Licht bleigrau ins Stahlgrau. Dem Anlaufen unterworfen. Weich. Wittichen, Fürstenberg. CuBi.
- 43 *Nichelwismuthglanz.* v. KOBELL. Tessularisch. Theilbarkeit, Oktaeder. Licht stahlgrau ins Silberweiss. H. = 4·5, G. = 5·14. Grünau, Sayn-Altenkirchen. $\overset{'''}{\text{Ni}}\overset{'''}{\text{Ni}} + \overset{'''}{\text{Ni}}\overset{'''}{\text{Bi}}$.

VII. ANTIMONGLANZ. Orthotyp. Farbe stahlgrau, bleigrau. Theilbarkeit vollkommen. H. = 1·5...2·5, G. = 4·2...8·3. G. unter 5·3: H. = 2·0, dünne Blättchen zerbrechlich. G. über 5·3: Farbe stahlgrau, nicht ins Bleigraue geneigt.

1. Prismatische r. Orthotyp. $\infty\text{O} = 94^\circ 20'$. Theilbarkeit $\infty\bar{\text{D}}$, $\infty\bar{\text{D}}$ von verschiedener Vollkommenheit. Farbe rein stahlgrau. H. = 1·5...2·0, H. = 8·2...8·3.

- 44 *Sylvanit.* H. (Sylvane, BEUDANT). $\text{AgTe} + 2\text{AuTe}^3$. Schrifters. Schriftellur.
- 45 *Müllerin.* BEUDANT. Orthotyp. $\bar{\text{D}} = 143$, $\bar{\text{D}} = 73^\circ 50'$, ∞O , $105^\circ 30'$. Theilbar. Gelblich silberweiss. Weich. G. = 7·99...8·33. Nagyág. (Ag, Pb)(Te, Sb) + 2Au (Te³, Sb³). Weissilverners. WERNER. Weissstellur.

2. Prismaeidischer. Orthotyp. $\text{O} = 109^\circ 16'$, $108^\circ 10'$, Fig. 204. $110^\circ 59'$, $\infty\text{O} = 90^\circ 45'$. Fig. 204. Theilbarkeit $\infty\bar{\text{D}}$ höchst vollkommen, O , ∞O , $\infty\bar{\text{D}}$ unvollkommen. Farbe bleigrau. H. = 2·0, G. = 4·2...4·7.





- 46 *Antimonit.* H. $\overset{'''}{\text{Sb}}$. Grauspiessglanzers, Antimonglanz.
3. Axotomer. Orthotyp. $\infty\text{O} = 101^\circ 20'$. Theilbarkeit O sehr vollkommen, ∞O , $\infty\bar{\text{D}}$ unvollkommen. Farbe stahlgrau. H. = 2·0...2·5, G. = 5·5...5·8.
- 47 *Jamesonit.* Haidinger. $2\overset{'''}{\text{Sb}} + 3\overset{'''}{\text{Pb}}$.

4. Peritomer. Orthotyp, $\bar{D} = 130^\circ 8'$, $\infty O =$ Fig. 205.
 $100^\circ O'$. Fig. 205. Theilbarkeit ∞O vollkommen. Farbe
 lichtstahlgrau. H. = 2.0...2.5, G. = 6.194...6.381.

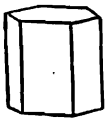


- 48 *Freieslebenit*. H. ($\overset{1}{Ag}^3 \overset{2}{Sb} + \overset{1}{Pb}^3 \overset{2}{Sb}$) + ($\overset{1}{Ag}^3 \overset{2}{Sb} + \overset{1}{Pb}^3 \overset{2}{Sb}$) Schilfglassers, FREIESLEBEN.
- 49 *Boulangerit*. THAULOW. Derb. Unvollk. Theilbar. Schwärzlichbleigrau. H. = 3.0, G. = 5.68...5.97. Molières, Frankreich. $\overset{1}{Pb}^3 \overset{2}{S}$.
- 50 *Boulangerit ähnlich*. ELFRING. Kalvola, Finnland. $3\overset{1}{Pb} + 2\overset{2}{Sb}$.
- 51 *Plumosit*. H. Feine haarförmige Krystalle, filzähnlich verbunden. Schwärzloffbleigrau, bunt angelaufen. Wolfsberg, Harz. $2\overset{1}{Pb} + \overset{2}{Sb}$. Federers, WERNER.
- 52 *Geokronit*. SVANBERG. Derb. Undeutlich schiefzig. Lichtbleigrau. H. = 2.0...3.0, G. = 5.88. Sala, Schweden. $\overset{1}{Pb}^2 (\overset{2}{Sb}, \overset{3}{As})$.
- 53 *Schulzsit*. SAUVAGE. Körnig. Bleigrau. G. = 6.43. Meredo, Galicien, Spanien. Pb, Sb, S, etwas Cu.
- 54 *Kilbrickenit*. APJOHN. Derb, blättrig und dicht. Bleigrau. H. = 2.0...2.5, G. = 6.407. Kilbricken, Grafschaft Clare, Irland. $\overset{1}{Pb}^4 \overset{2}{S}$.
- 55 *Kobellit*. SETTERBERG. Strahlig. Metallisch-dunkelgrau. Strich schwarz. Vom Messer leicht geritzt. G. = 6.29...6.32. Hvena, Nerike, Schweden. $\overset{1}{Fe} \overset{2}{Sb}^2 + 2\overset{1}{Pb} \overset{2}{Bi}$.
- 56 *Plumbosit*. BREITHAUPT. Derb. Zwei nicht sehr vollkommene Theilungsflächen. Zwischen Bleigrau und Stahlgrau. H. = 3.5, G. = 6.18. Nertschinsk. $\overset{1}{Pb}, \overset{2}{S}$.
- 57 *Embrithit*. BREITHAUPT. Kuglig, derb. Nach einer Richtung theilbar. Bleigrau. H. = 2.5, G. = 6.29...6.31. Nertschinsk. $\overset{1}{Pb}, \overset{2}{S}$.
- 58 *Bleischimmer*. PPAFF. Derb. Fasrig. Schwärzlichbleigrau. H. = 2.5, G. = 6.5. Nertschinsk. Pb, Sb, S und etwas As.
- 59 *Plusinglanz*. BREITHAUPT. Undeutlich krystallinisch. Eisen-schwarz...schwärzlichbleigrau. G. = 6.1...6.2. Freiberg.

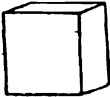
VIII. MELANGLANZ. Rhomboedrisch, orthotyp. Farbe eisenschwarz. Strich unverändert. H. = 2.0...2.5, G. = 5.9...6.4.

1. Rhomboedrischer. Dirhombodrisch. $R = 84^\circ 48'$.
 Fig. 206. Sechseckige Tafeln. Fig. 206. Theilbarkeit 0, unvollkommen. $H = 2.0 \dots 2.5$, $G = 6.0 \dots 6.25$.
 60  *Polybasit*. H. Rosz. $\overset{\cdot}{\text{Cu}}^\circ (\overset{\cdot}{\text{Sb}}\overset{\cdot}{\text{As}}) + 4\overset{\cdot}{\text{Ag}}^\circ (\overset{\cdot}{\text{Sb}}\overset{\cdot}{\text{As}})$. Sprödglassers.
2. Prismatischer. Orthotyp. $O = 130^\circ 16'$, $104^\circ 19'$,
 Fig. 207. $96^\circ 7'$. $\check{D} = 115^\circ 39'$, $\infty\check{O}2 = 72^\circ 13'$. Fig. 207.
 Theilbarkeit $\infty\check{O}2$, $\infty\check{D}$ unvollkommen. $H = 2.0 \dots 2.5$,
 $G = 5.9 \dots 6.4$.
 61  *Stephanit*. H. $\overset{\cdot}{\text{Ag}}^\circ \overset{\cdot}{\text{Sb}}$. Sprödglassers. Röschgewächs. Pasturose. BEUDANT.


XV. Ordnung. BLENDE.

- 1 *Covellin*. BEUDANT. Rhomboedrisch. Krystalle ∞R , Theilbarkeit 0 sehr vollkommen. (ZIPPE, MOHS. II. p. 625.)
 Fig. 208.  Fettglanz, in den unvollkommenen Metallglanz geneigt. Indigblau. Strich schwarz, glänzend. Dünne Blättchen biegsam. $H = 1.5 \dots 2.0$, $G = 3.8 \dots 3.85$. Leogang, Salzburg. $\overset{\cdot}{\text{Cu}}$. Kupferindig, BREITHAUPT.

I. GLANZBLLENDE. Tessularisch. Strich grün. $H = 3.5 \dots 4.0$,
 Fig. 209. $G = 3.9 \dots 4.05$.

1. Hexaedrische. Tessularisch. Theilbarkeit Hexaeder vollkommen.
 2  *Alabandin*. DEL RIO. Mn. Manganblende. Schwarzera.
 3 *Greenockit*. BROOKE und CONNELL. Rhomboedrisch.
 $Q = 139^\circ 39'$, $87^\circ 13'$. Theilbarkeit ∞Q . Diamantglanz. Orange-gelb. Strich gelb ins Rothe fallend. $H = 3.0 \dots 3.5$, $G = 4.8 \dots 4.9$.
 Bishopton, Renfrewshire, Schottland. $\overset{\cdot}{\text{Cd}}$.

II. GRANATBLLENDE. Tessularisch. Strich ungefärbt...röthlich-braun. $H = 3.5 \dots 4.5$, $G = 4.0 \dots 4.2$.
 Fig. 210.

1. Dodekaedrische. Tessularisch. Tetraedrische Hemiedrie. Fig. 209. Theilbarkeit Granatoid, höchst vollkommen.
 4  *Blende*. $\overset{\cdot}{\text{Zn}}$. Marmatit. $3\overset{\cdot}{\text{Zn}} + \overset{\cdot}{\text{Fe}}$. Eisenzinkblende. Brauners. Messingerz (Gemenge).